

АМОРФНОЕ И ЖИДКОЕ СОСТОЯНИЯ

PACS numbers: 61.05.cf, 61.43.Bn, 61.43.Dq, 68.55.J-, 81.05.Bx, 81.07.Bc, 81.15.Pq

Близкий порядок в сплавах Cr–С, электроосаждённых импульсным током

А. Н. Гуливец, А. С. Баскевич*

*Днепропетровский национальный университет железнодорожного транспорта
имени академика В. Лазаряна,
ул. Академика В. Лазаряна, 2,
49010 Днепр, Украина*

**ГВУЗ «Украинский государственный химико-технологический университет»,
просп. Гагарина, 8,
49005 Днепр, Украина*

Методами рентгеновского анализа изучен близкий порядок в аморфных сплавах Cr–С, электроосаждённых импульсным током. Установлено, что в аморфном состоянии области сплавов с близким порядком характеризуются упорядоченным расположением атомов, подобным ОЦК-структуре.

Ключевые слова: аморфное и микрокристаллическое состояния, близкий порядок, области упорядоченного расположения атомов.

Методами рентгеноівської аналізи вивчено близький порядок в аморфних стопах Cr–С, електроосаджених імпульсним струмом. Встановлено, що в аморфному стані області стопів з близьким порядком характеризуються впорядкованим розміщенням атомів, подібним до ОЦК-структури.

Ключові слова: аморфний і мікрокристалічний стани, близький порядок, області впорядкованого розташування атомів.

The methods of X-ray analysis are used for investigation of short-range or-

Corresponding author: Oleksiy Mykhaylovych Gulivets
E-mail: agulivets@outlook.com

*Academician V. Lazaryan Dnipropetrovsk National University of Railway Transport,
2 Academician Lazaryana Str., UA-49010 Dnipro, Ukraine
*SHEI ‘Ukrainian State University of Chemical Technology’,
8 Gagarin Ave., UA-49005 Dnipro, Ukraine*

Citation: O. M. Gulivets and O. S. Baskevych, The Short-Range Order in Cr–C Alloys Electrodeposited by a Pulsed Current, *Metallofiz. Noveishie Tekhnol.*, **40**, No. 10: 1401–1413 (2018), DOI: [10.15407/mfint.40.10.1401](https://doi.org/10.15407/mfint.40.10.1401).

dering of amorphous Cr–C alloys electrodeposited with pulse current. As determined, the short-range ordered areas of alloys in amorphous state are characterised by the atoms' arrangement similar to b.c.c. structure.

Keywords: amorphous and microcrystalline phases, short-range order, areas of the ordered arrangement of atoms.

(Получено 19 апреля 2017 г.)

1. ВВЕДЕНИЕ

Известно, что атомы металлоидов служат аморфизаторами и повышают стабильность аморфных металлических сплавов [1–5]. Изучение строения аморфных и нанокристаллических металлических сплавов необходимо для понимания механизмов образования неравновесного состояния и для установления физических процессов, протекающих на начальных стадиях формирования твёрдой фазы в условиях далёких от равновесия, а также для получения материалов с заданными структурой и свойствами [1–9]. При электроосаждении металлов с металлоидами в неравновесных условиях образуется твёрдый раствор, а образовавшиеся структурные единицы зависят от таких параметров осаждения как скорость изменения перенапряжения на катоде при электроосаждении, размеры атомов металла и металлоида [5, 6]. Исчерпывающую информацию о структуре ближнего упорядочения можно получить лишь с помощью компьютерного моделирования на основе данных рентгеновских экспериментов [7, 8].

В настоящее время мало изучены особенности формирования ближнего порядка в аморфных сплавах Cr–C, особенно полученных импульсным током из различных электролитов. Цель настоящей работы состоит в установлении при помощи рентгеновских методов и электронной микроскопии наличия и типа ближнего порядка в аморфных сплавах Cr–C, полученных импульсным током, в исходном состоянии и на начальных этапах структурной релаксации в результате изотермических отжигов. Описание начальных стадий кристаллизации аморфных сплавов и установление особенностей ближнего порядка являются важной и актуальной задачей, необходимой для более глубокого понимания физических процессов, протекающих при формировании и на начальных стадиях кристаллизации твёрдой фазы в неравновесных условиях.

2. ЭКСПЕРИМЕНТ И МЕТОДИКА

В качестве объектов исследования были выбраны аморфные плёнки сплава Cr–C с толщинами 20–40 мкм, что обеспечивало постоянный рассеивающий объём при съёмке дифрактограмм. Для осаждения

плёнок сплавов Cr–С использовали электролит базового состава: $\text{KCr}(\text{SO}_4)_2 \cdot 12\text{H}_2\text{O}$ — 260 г/л, HCOON — 40 г/л, $(\text{NH}_4)_2\text{SO}_4$ — 280 г/л, H_3BO_3 — 35 г/л. Кислотность электролита поддерживалась постоянной ($\text{pH} = 3,0$). Анодом служил титан-диоксидномарганцевый электрод. Рабочим электродом была пластина из медной фольги ($S = 0,01 \text{ дм}^2$). Электроосаждение проводилось однополярным импульсным током (плотность $j = 15\text{--}25 \text{ A}/\text{дм}^2$) с частотой следования ($f = 2\text{--}16 \text{ Гц}$), скважностью импульсов ($Q = 2\text{--}4$). Оптимальная температура электроосаждения комнатная (298 К).

Кривые малоуглового рассеяния получали, используя малоугловую рентгеновскую камеру КРМ-1, в которой монохроматизация излучения $\text{Cu}K_\alpha$ достигалась применением амплитудного дискриминатора и никелевого фильтра. Юстировка камеры проводилась с использованием стандартного образца «Люполен» [10].

Для изучения ближнего порядка сплавов получены рентгеновские дифрактограммы на автоматизированном экспериментальном комплексе ДРОН-3.0-IBM в монохроматизированном $\text{Mo}K_\alpha$ и $\text{Co}K_\alpha$ излучениях (с изогнутым LiF монохроматором) по точкам с интервалом 0,1 градуса и выдержкой не менее 100 секунд на точку. Усреднение проводилось по пяти кривым интенсивности рассеяния. Толщина плёнок контролировалась с помощью выхода металла по току и наблюдения торцевых шлифов на микроскопе МИМ-8. Для изучения механизма структурной релаксации проведены термогравиметрические исследования и выбраны точки изотермических отжигов при 473, 523, 573 К.

С помощью растрового электронного микроскопа РЭММА-102-2 (SELMI) исследовали морфологию поверхности и проводили микрорентгеноспектральный анализ. Измерения скорости акустических волн в сплавах Cr–С проводили на приборе ИСП-12 (испытатель структурных превращений) в сравнении с эталонными образцами, изготовленными из чистого металла.

Для установления основных характеристик ближнего порядка аморфных и нанокристаллических плёнок использовали данные рентгеновского рассеяния, функцию радиального распределения атомов (ФРРА) и моделирование ближнего порядка плёнок по профилю главного пика структурного фактора.

3. РЕЗУЛЬТАТЫ И ИХ ОБСУЖДЕНИЕ

Структура электроосаждённых плёнок Cr–С изменялась от микрокристаллической до аморфной в зависимости от режимов осаждения и пересыщения на катоде при импульсном осаждении. Плёнки, получаемые с помощью импульсного тока плотностью $15 \text{ A}/\text{дм}^2$ (частота $f = 2 \text{ Гц}$, скважность импульсов $Q = 2$), имели нанокристаллическую структуру с составом Cr_{92}C_8 . На рентгеновских дифракто-

граммах, полученных от этих сплавов, фиксировались линии кристаллических фаз Cr, Cr₂₃C₇, Cr₇C₃, поскольку данный режим осаждения при помощи импульсного тока по величине и скорости изменения пересыщения на катоде близок к равновесному и мало отличается от осаждения постоянным током [3, 10–12].

Использование режимов импульсного тока с частотой $f = 16$ Гц и скважностью импульсов $Q = 4$ позволило создать неравновесные условия электроосаждения и способствовало формированию аморфного состояния в плёнках с составом Cr₈₈C₁₂.

Образование аморфного состояния при относительно небольшом содержании углерода 12 ат. % объясняется возрастанием скорости осаждения и выхода металла по току при осаждении импульсным током. При таких условиях осаждения на катоде выделяется до 3,2 ат. % водорода, часть которого выделяется в виде молекулярного водорода, внедряющегося в кристаллическую решётку металла [10]. Этот водород попадает в тетраэдрические и октаэдрические пустоты и препятствует внедрению атомов углерода, недостающих в формирующемся сплаве.

На рисунке 1 представлены электронограмма и рентгеновская дифрактограмма сплава Cr₈₈C₁₂. На электронограмме плёнки чётко видны характерные для аморфных сплавов размытые диффузные гало (рис. 1, *a*). На рентгеновской дифрактограмме плёнки Cr₈₈C₁₂ также наблюдаются три диффузных гало от аморфного сплава (рис. 1, *б*).

Исследование морфологии поверхности сплава Cr₈₈C₁₂ с помощью растрового электронного микроскопа показало, что в исходном состоянии на поверхности образуются сфероиды фрактального типа с размерами 4,0–20,0 мкм (рис. 2, *a*).

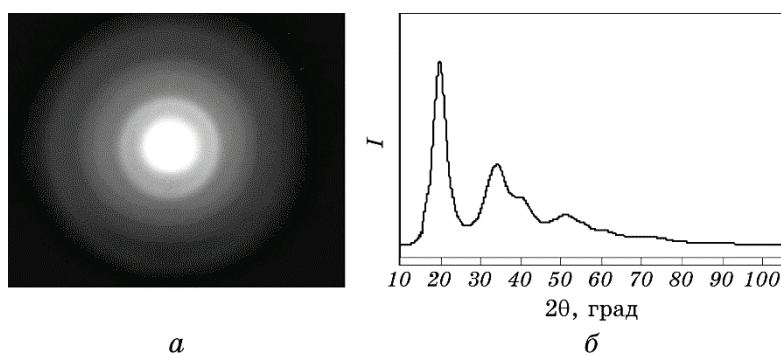


Рис. 1. Диффузные гало от сплава Cr₈₈C₁₂: *а* — электронограмма; *б* — рентгеновская дифрактограмма (MoK_α-излучение).

Fig. 1. Diffuse halos from Cr₈₈C₁₂ alloys: *a*—electron diffraction; *b*—X-ray diffraction pattern (MoK_α radiation).

Для определения температурных точек структурной релаксации были сняты кривые дифференциального-термического анализа (ДТА) и выбраны точки изотермических отжигов при температурах 473, 523 и 573 К.

Морфология поверхности пленки, отожжённой при температуре 473 К в течение часа, демонстрирует плотно структурированные сфероиды фрактального типа с размерами 3,0–18,0 мкм (рис. 2, б).

При увеличении температуры отжига до 523 К начинаются процессы структурной релаксации аморфного сплава $\text{Cr}_{88}\text{C}_{12}$. На поверхности пленки, отожжённой при данной температуре, видны происходящие изменения в аморфной матрице и начало распада плотной упаковки сфероидов с размерами включений 3,0–15,0 мкм (рис. 2, в).

Повышение температуры отжигов до 573 К способствует продолжению процессов релаксации структуры в исследуемых сплавах. Сфероиды распадаются по фрактальному типу, изменяя морфологию поверхности пленки путём образования на каждом из них но-

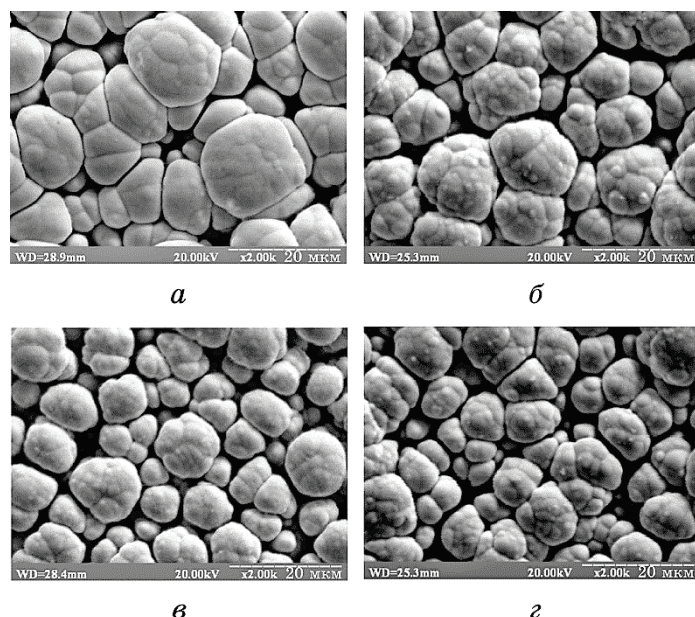


Рис. 2. Морфология поверхности сплава $\text{Cr}_{88}\text{C}_{12}$ в исходном состоянии и после отжигов при различных температурах в течение 1 часа: *а* — исходное состояние; *б* — $T = 473$ К; *в* — $T = 523$ К; *г* — $T = 573$ К.

Fig. 2. Morphology $\text{Cr}_{88}\text{C}_{12}$ alloy surface in the initial state and after annealing during one hour: *a*—initial state; *б*— $T = 473$ K; *в*— $T = 523$ K; *г*— $T = 573$ K.

вых сфEROидов значительно меньших размеров 2,5–12,0 мкм (рис. 2, ε).

На рисунке 3 показана зависимость интенсивности малоуглового рассеяния на сплавах Cr₈₈C₁₂ от температуры изотермических отжигов. Для удобства полагали, что области неоднородности близки к сферическим. Радиусы инерции R₀ получали из наклонов экспериментальных зависимостей lnI от s² [10]. Данные по малоугловому рассеянию показали, что с увеличением упорядоченности в сплавах увеличивается и интенсивность малоуглового рассеяния (рис. 3). Так, для сплавов Cr₈₈C₁₂ с увеличением температуры отжигов до 573 К радиус инерции увеличивался от 3,5 до 4,6 нм. Это объясняется увеличением размеров микронеоднородностей в сплавах и образованием в них нанокристаллов с ближним порядком, отличным от аморфного состояния.

Для установления механизма структурной релаксации ближнего порядка сплава Cr₈₈C₁₂ использовали совместное моделирование профиля главного пика структурного фактора и функции радиального распределения атомов (ФРРА). Дифрактограммы плёнок сплава Cr₈₈C₁₂ в исходном состоянии и после изотермических отжигов нормировали по стандартной методике [8]. Структурные факторы использовали для моделирования ближнего порядка и для расчёта ФРРА G(r) [8, 9]:

$$G(r) = 4\pi\rho_0 r + \frac{2}{\pi} \int_0^{s_{\max}} [i(s) - 1] se^{-as^2} \sin(sr) ds, \quad (1)$$

где ρ₀ — средняя межатомная плотность, i(s) — текущее значение

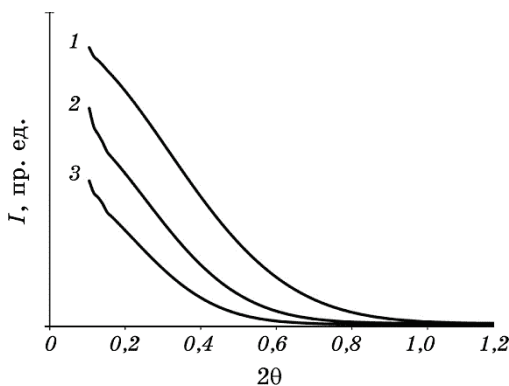


Рис. 3. Интенсивность малоуглового рассеяния сплава Cr₈₈C₁₂: 1 — отжиг при 573 К; 2 — отжиг при 473 К; 3 — исходное состояние.

Fig. 3. The intensity of small-angle scattering of Cr₈₈C₁₂ alloys: 1—annealing at 523 K; 2—annealing at 473 K; 3—the initial state.

структурного фактора, r — расстояние между атомами, α — коэффициент ослабления, который понижает ложные максимумы и имеет значение в промежутке от 0,01 до 0,02 [8, 14].

Расшифровку кривых и определение типа упаковки областей упорядоченного расположения атомов (ОУРА) проводили путём моделирования ФРРА методом «размытия» идеальных гауссовских пиков на основе соответствующей модели упаковки атомов кристаллических структур с использованием формулы [8, 14]:

$$G(r) = \sum_m \frac{Z_m (r + 2r_m \alpha / \bar{u}^2)}{\sqrt{2\pi u(1 + 2\alpha/\bar{u}^2)^{3/2}(r_m^2 + \bar{u}^2)}} \left[\exp\left(-\frac{(r - r_m)^2}{2\bar{u}^2 + 4\alpha}\right) + \exp\left(-\frac{(r + r_m)^2}{2\bar{u}^2 + 4\alpha}\right) \right], \quad (2)$$

где r_m — средний радиус m -ой координационной сферы, Z_m — координационное число атомов в m -ой координационной сфере, \bar{u}^2 — среднеквадратичные относительные смещения атомов из положения равновесия, которые определяются из выражения [8, 14]

$$\bar{u}_{Me-P}^2 = \frac{18k_B T}{\sqrt{m_{Cr} m_C} (2\pi C K_m)^2} \left[\sqrt{m_{Cr}/m_C} + \sqrt{m_C/m_{Cr}} - \frac{\sin(2\pi K_m r_1)}{2\pi K_m r_1} \right], \quad (3)$$

где k_B — постоянная Больцмана, C — скорость акустических волн в сплаве, m_{Cr} и m_C — массы атомов Cr и C, $2\pi K_m$ — максимальное волновое число, r_1 — среднее расстояние наиболее вероятной координационной сферы.

Для уточнения параметров ближнего порядка проводили моделирование главного пика структурного фактора по формуле [8, 14]:

$$I(s_0) = \frac{Q_2 Q_3}{d_{hkl}} [1 + (i_0 \bar{L} \exp(-\varepsilon s_0^2 \bar{L}^3 / \bar{L}) - 1)] \exp\left(-\frac{u^2 s_0^2}{2}\right). \quad (4)$$

Данное выражение является функцией основных физических параметров аморфного и нанокристаллического вещества: d_{hkl} — межплоскостное расстояние, например, для выбранной нами системы отражающих плоскостей {110}, L — уточнённый средний размер ОУРА, i_0 — максимальное значение экспериментального структурного фактора, величина ε определяется в процессе моделирования структуры ОУРА, Q_2 и Q_3 — множители, которые учитывают влияние теплового движения на профиль дифракционного пика. Для исследуемой модели Q_2 и Q_3 равны соответственно 0,9881 и 0,9766 [13]. Моделирование проводилось с использованием правила Браве–Доннея–Харкера для определения ограничения кристалла [14], а модельные геометрические объекты выбирались из форм, огранённых плоскостями (110) и (100). Модельные профили струк-

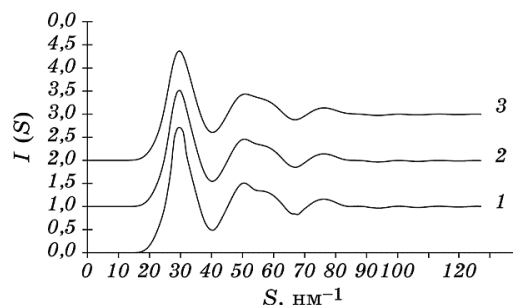


Рис. 4. Структурные факторы сплавов $\text{Cr}_{88}\text{C}_{12}$: 1 — отжиг при 573 К; 2 — отжиг при 473 К; 3 — исходное состояние.

Fig. 4. Structural factors of $\text{Cr}_{88}\text{C}_{12}$ alloys: 1—annealing at 523 K; 2—annealing at 473 K; 3—the initial state.

турного фактора рассчитывались по формуле (5) с учётом (4) и сравнивались с формой главного максимума структурного фактора.

Моделирование профиля главного пика структурного фактора (110) исследуемых плёнок позволяет определить средние размеры ОУРА и их геометрическую форму. В качестве начального приближения к уточнённому значению размеров ОУРА по формуле Селякова–Шеррера оценивали их размеры для отражения (110):

$$L = \frac{Q\lambda}{\beta \cos(2\theta/2)}, \quad (5)$$

где Q — коэффициент формы ($Q \approx Q_2 Q_3$) частиц, учитывающий уширение линии, создаваемое всеми элементами структуры, β — полуширина пика, 2θ — положение максимума отражения.

Полученные структурные факторы позволили определить следующие общие закономерности для сплава $\text{Cr}_{88}\text{C}_{12}$ после температурных отжигов (рис. 4). Высоты главных пиков структурных факторов при увеличении температуры отжига увеличиваются. Вторые максимумы структурных факторов имеют различную форму. Так в отожжённых сплавах второй пик имеет ярко выраженную асимметричную форму с наплывами справа, чего в исходном сплаве нет. Это свидетельствует о постепенном увеличении степени ближнего порядка и начале кристаллизации сплава.

Используя формулу (2) рассчитали ФРРА (рис. 5) и методом размытия пиков провели моделирование типа упорядочения, которое существует в ОУРА сплава $\text{Cr}_{88}\text{C}_{12}$ в исходном состоянии и после отжигов.

Из рисунка 5 видно, что с увеличением температуры изотермических отжигов изменяется форма кривых ФРРА из-за появления на них новых пиков. Как показывают данные моделирования, радиусы

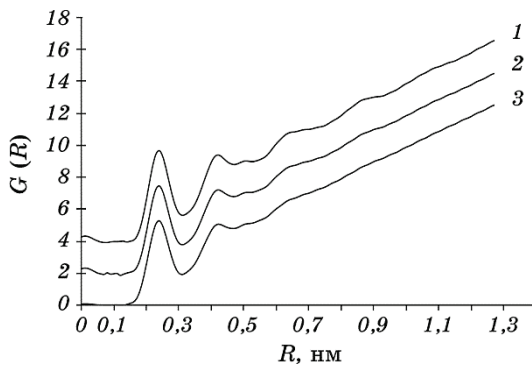


Рис. 5. Функции радиального распределения атомов для сплавов $\text{Cr}_{88}\text{C}_{12}$: 1 — отжиг при 573 К; 2 — отжиг при 473 К; 3 — исходное состояние.

Fig. 5. Atomic radial distribution functions for $\text{Cr}_{88}\text{C}_{12}$ alloys: 1—annealing at 523 K; 2—annealing at 473 K; 3—the initial state.

первых координационных слоёв для межатомного расстояния в аморфном сплаве $\text{Cr}_{88}\text{C}_{12}$ находятся в интервале 0,2471–0,2477 нм, в то время как для кристаллического Cr соответствующее значение равно 0,250 нм (табл. 1). Радиусы координационных сфер и координационные числа для сплава $\text{Cr}_{88}\text{C}_{12}$ в исходном состоянии отличаются от таких для кристаллических веществ, что говорит о структурах отличных от идеальных.

В отожжённых сплавах $\text{Cr}_{88}\text{C}_{12}$ первые координационные числа больше аналогичных для кристаллических структур, вторые и пятые исчезают, а остальные отличаются от целочисленных, что вы-

ТАБЛИЦА 1. Данные расшифровки ближнего порядка сплавов $\text{Cr}_{88}\text{C}_{12}$.

TABLE 1. Decryption data of short-range order of $\text{Cr}_{88}\text{C}_{12}$ alloys.

№	ГЦК ОЦК*	Cr ₈₈ C ₁₂			Cr ₈₈ C ₁₂ (отжиг 473 K)			Cr ₈₈ C ₁₂ (отжиг 573 K)			
		r_m/r_0	Z	r_m	r_m/r_0	Z_m	r_m	r_m/r_0	Z_m	r_m	r_m/r_0
1*	1,000	8	0,2477	1,000	10,381	0,2474	1,000	9,521	0,2471	1,000	9,913
2*	1,155	6	—	—	—	—	—	—	—	—	—
3*	1,633	12	0,4081	1,645	14,149	0,4045	1,634	12,796	0,4050	1,639	13,043
4*	1,914	24	0,4738	1,912	15,325	0,4748	1,919	15,109	0,4712	1,910	16,241
5*	2,000	8	—	—	—	—	—	—	—	—	—
5	2,236	24	0,5471	2,208	4,084	0,5473	2,207	22,312	0,5491	2,225	16,933
6*	2,309	6	—	—	—	—	—	—	—	—	—
7*	2,516	24	0,6215	2,509	24,418	0,6200	2,505	24,084	0,6184	2,503	26,632

Z — координационное число кристаллической структуры ОЦК или ГЦК; r_m — радиус m -ой координационной сферы.

звано внедрению атомов углерода и водорода в структуру матрицы хрома. Моделирование кривых ФРРА показало, что в сплаве присутствует объёмная доля структурных составляющих типа ОЦК и ГЦК (табл. 1).

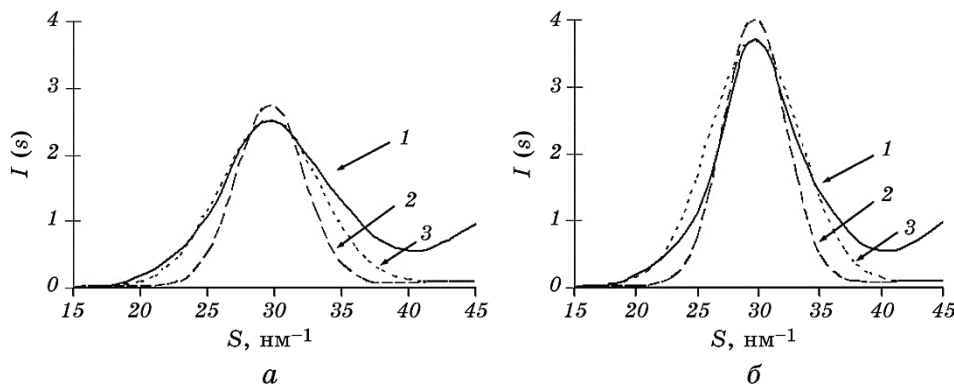


Рис. 6. Результаты моделирования профиля главного пика структурного фактора сплава $\text{Cr}_{88}\text{C}_{12}$: *а* — в исходном состоянии; *б* — после отжига при 573 К (1 — экспериментальный пик, 2 — модельный пик сплава при преобладании областей упорядоченного расположения атомов в виде кубооктаэдров, 3 — модельный пик сплава при преобладании областей упорядоченного расположения атомов в виде тетраэдров).

Fig. 6. Results of the profile modelling for the main peak of the structure factor of $\text{Cr}_{88}\text{C}_{12}$ alloy: *a*—in the initial state; *б*—after annealing at 573 K (1—experimental peak, 2—model peak of alloy with predominance of regions with ordered arrangement of atoms in the form of cuboctahedron, 3—model peak of alloy with predominance of regions with ordered arrangement of atoms in the form of tetrahedrons).

ТАБЛИЦА 2. Параметры областей упорядоченного расположения атомов для сплавов $\text{Cr}_{88}\text{C}_{12}$.

TABLE 2. Parameters of regions with ordered arrangement of atoms for $\text{Cr}_{88}\text{C}_{12}$ alloys.

Сплав	Температура отжига	Форма ОУРА	a , нм	\bar{u}^2 , нм	\bar{L} , нм	M , нм	V_d , %
$\text{Cr}_{88}\text{C}_{12}$	исходный	кубооктаэдр	0,2843	0,0115	3,854	0,185	42
$\text{Cr}_{88}\text{C}_{12}$	473 К	кубооктаэдр	0,2845	0,0118	4,572	0,168	49
$\text{Cr}_{88}\text{C}_{12}$	523 К	кубооктаэдр	0,2847	0,0116	5,285	0,143	64
$\text{Cr}_{88}\text{C}_{12}$	573 К	кубооктаэдр	0,2851	0,0121	5,637	0,125	78

a — параметры решётки ОУРА, \bar{u}^2 — среднеквадратичные относительные смещения атомов из положения равновесия, \bar{L} — средний размер ОУРА, M — размеры зазора между ОУРА, V_d — объёмная доля ОУРА в сплаве.

При увеличении температуры отжигов до 573 К вероятность формирования в структуре ближнего порядка сплавов $\text{Cr}_{88}\text{C}_{12}$ ОУРА с объёмной долей структуры близкой к ОЦК уменьшается от 82% до 47%, а вероятность формирования объёмной доли ОУРА со структурой ГЦК увеличивается от 7% до 15%. Однако наблюдается значительное расхождение некоторых координационных чисел с координационными числами кристаллического состояния. Это объясняется тем, что между ОУРА имеются области с хаотическим заполнением атомами хрома и углерода, которые не образуют какои-либо строгого упорядоченной структуры, смещаясь из положений равновесия и искажая структуру. В связи с вышеизложенным было сделано предположение, что в объёме аморфных сплавов $\text{Cr}_{88}\text{C}_{12}$ существуют ОУРА со структурами, подобными ОЦК и ГЦК.

Для выяснения типа упаковки в ОУРА проведено моделирование главного пика структурного фактора. На рисунке 6 приведены профили главных экспериментальных и модельных пиков структурных факторов сплава $\text{Cr}_{88}\text{C}_{12}$ в исходном состоянии и после изотермических отжигов при температуре 573 К. Из рисунков видно, что в объёме сплава преобладают стойкие и обособленные кубооктаэдрические ОУРА с кристаллической упорядоченностью атомов и плотностью, близкой к плотности кристаллического хрома, упорядоченного по типу ОЦК.

С увеличением температуры отжигов и началом кристаллизации аморфной матрицы размеры ОУРА увеличиваются, межатомные расстояния уменьшаются, что приводит к уменьшению обособленности кластеров.

Результаты моделирования структурной релаксации ближнего порядка сплавов $\text{Cr}_{88}\text{C}_{12}$ показали, что рост ОУРА происходит с увеличением температуры отжигов, а параметры решётки растут незначительно (от 0,2843 до 0,2851 нм), приближаясь к параметру решётки кристаллического хрома (табл. 2). Ближний порядок ОУРА сплавов $\text{Cr}_{88}\text{C}_{12}$ близок структуре кубооктаэдров. Очевидно, что атомы углерода внедряются в октаэдрические и тетраэдрические поры, которые возникают между ОУРА, или замещают некоторые атомы металла в сплаве, поскольку при неравновесном осаждении растворимость углерода в металлах существенно увеличивается. При увеличении температуры отжигов происходит уменьшение зазоров между ОУРА от 0,185 нм до 0,125 нм за счёт выделения внедрённых атомов углерода, участвующего в формировании карбидов хрома при кристаллизации аморфного сплава.

Одновременно с уменьшением зазоров между ОУРА увеличивается доля упорядоченной структуры (объёмная доля ОУРА) от 42% до 78% (табл. 2). Необходимо отметить, что удовлетворительная точность определения геометрических форм не исключает присутствия в сплавах и других многогранников.

4. ВЫВОДЫ

- Образование аморфного состояния при относительно небольшом содержании углерода в плёнках Cr₈₈C₁₂ объясняется неравновесными условиями при электроосаждении импульсным током. При изотермических отжигах при температурах 473, 523, 573 К в сплаве Cr₈₈C₁₂ происходит структурная релаксация с постепенным выделением металлического хрома и насыщение твёрдого раствора атомами углерода.
- Исходя из совместного анализа ФРРА и моделирования профилей дифракционных пиков структурных факторов установлено наличие ближнего порядка в аморфных сплавах Cr₈₈C₁₂. Согласно предложенной модели, ближний порядок в аморфных сплавах Cr₈₈C₁₂ имеет кластерное строение. Атомы хрома группируются в ОУРА в виде кубооктаэдров, зазоры между которыми заполнены атомами углерода (и других примесей), образующими твёрдый раствор углерода в металле.
- Увеличение температур изотермических отжигов до 573 К приводит к уменьшению объёмной кристаллической доли в сплавах Cr₈₈C₁₂, близкой к структуре ОЦК, от 82 до 47% и к увеличению доли структуры, близкой ГЦК, от 7 до 15%. Установлено, что атомы углерода, изменения ближний порядок в аморфных сплавах, не влияют на структуру ОУРА, которая близка к структуре основного металла.

ЦИТИРОВАННАЯ ЛИТЕРАТУРА

- А. Ф. Скрышевский, *Структурный анализ жидкостей и аморфных тел* (Москва: Высшая школа: 1980).
- В. В. Немошканенко, А. В. Романова, А. Г. Ильинский, *Аморфные металлические сплавы* (Киев: Наукова думка: 1987).
- A. N. Gulivets, V. A. Zabludovskii, A. S. Baskevich, and R. F. Ganitch, *Phys. Met. Metallogr.*, **99**, No. 5: 504 (2005).
- F. E. Luborsky and J. L. Walter, *J. Appl. Phys.*, **47**, Iss. 8: 3648 (1976).
- P. H. Gaskell, *J. Non-Cryst. Solids*, **32**, Iss. 1–3: 207 (1979).
- К. Шуберт, *Кристаллические структуры двухкомпонентных фаз* (Москва: Металлургия: 1970).
- Y. Waseda, *Prog. Mater. Sci.*, **26**, Iss. 1: 1 (1981).
- O. S. Baskevich, O. M. Gulivetz, and V. O. Zabludovsky, *Ukr. J. Phys.*, **49**, No. 12: 1196 (2004).
- T. Ichikawa, *phys. status solidi (a)*, **19**, Iss. 2: 707 (1973).
- O. Kratky, I. Pilz, and P. J. Schmidt, *J. Colloid Interface Sci.*, **21**, Iss. 1: 24 (1966).
- V. A. Zabludovsky, E. Ph. Shtapenko, A. N. Gulivets, A. S. Baskevich, and R. Ph. Ganitch, *Trans. Inst. Met. Finish.*, **79**, Iss. 6: 207 (2001).
- A. N. Gulivets, V. A. Zabludovsky, A. S. Baskevich, E. Ph. Shtapenko, and

13. R. Ph. Ganitch, *Trans. Inst. Met. Finish.*, **82**, Iss. 5–6: 144 (2004).
13. A. N. Gulivets, A. S. Baskevich, and V. A. Zabludovskii, *Phys. Met. Metallogr.*, **98**, No. 2: 169 (2004).
14. A. S. Баскевич, А. Н. Гуливец, В. А. Заблудовский, *Металлофиз. новейшие технол.*, **26**, № 9: 1151 (2004).
15. А. А. Чернов, И. Е. Гиваргизов, Х. С. Багдасаров, *Современная кристаллография* (Москва: Наука: 1980), т. 3.

REFERENCES

1. A. F. Skryshevskiy, *Strukturnyy Analiz Zhidkostey i Amorfnykh Tel* [Structural Analysis of Liquids and Amorphous Solids] (Moscow: Vysshaya Shkola: 1980) (in Russian).
2. V. V. Nemoshkalenko, A. V. Romanova, and A. G. I'inskiy, *Amorfnye Metallicheskie Splavy* [Amorphous Metal Alloys] (Kiev: Naukova Dumka: 1987) (in Russian).
3. A. N. Gulivets, V. A. Zabludovskii, A. S. Baskevich, and R. F. Ganitch, *Phys. Met. Metallogr.*, **99**, No. 5: 504 (2005).
4. F. E. Luborsky and J. L. Walter, *J. Appl. Phys.*, **47**, Iss. 8: 3648 (1976).
5. P. H. Gaskell, *J. Non-Cryst. Solids*, **32**, Iss. 1–3: 207 (1979).
6. K. Shubert, *Kristallicheskie Struktury Dvukhkomponentnykh Faz* [Crystal Structures of Two-Component Phases] (Moscow: Metallurgiya: 1970) (in Russian).
7. Y. Waseda, *Prog. Mater. Sci.*, **26**, Iss. 1: 1 (1981).
8. O. S. Baskevich, O. M. Gulivetz, and V. O. Zabludovsky, *Ukr. J. Phys.*, **49**, No. 12: 1196 (2004).
9. T. Ichikawa, *phys. status solidi (a)*, **19**, Iss. 2: 707 (1973).
10. O. Kratky, I. Pilz, and P. J. Schmidt, *J. Colloid Interface Sci.*, **21**, Iss. 1: 24 (1966).
11. V. A. Zabludovsky, E. Ph. Shtapenko, A. N. Gulivets, A. S. Baskevich, and R. Ph. Ganitch, *Trans. Inst. Met. Finish.*, **79**, Iss. 6: 207 (2001).
12. A. N. Gulivets, V. A. Zabludovsky, A. S. Baskevich, E. Ph. Shtapenko, and R. Ph. Ganitch, *Trans. Inst. Met. Finish.*, **82**, Iss. 5–6: 144 (2004).
13. A. N. Gulivets, A. S. Baskevich, and V. A. Zabludovskii, *Phys. Met. Metallogr.*, **98**, No. 2: 169 (2004).
14. O. S. Baskevych, O. M. Gulyvets', and V. O. Zabludovs'ky, *Metallofiz. Noveishie Tekhnol.*, **26**, No. 9: 1151 (2004) (in Russian).
15. A. A. Chernov, I. E. Givargizov, and H. S. Bagdasarov, *Sovremennaya Kristallografiya* [Modern Crystallography] (Moscow: Nauka: 1980), vol. 3 (in Russian).